

УДК 523.9

**А. А. Логинов, Н. Н. Сальников, О. К. Черемных,  
Я. И. Зелык, Н. В. Маслова**

Институт космических исследований Национальной академии наук Украины  
и Государственного космического агентства Украины  
03022 Киев, пр. Академика Глушкова 40

## **О гидродинамическом механизме генерации глобального полоидального течения на Солнце**

*Рассматривается механизм генерации полоидального течения на Солнце, обусловленный его дифференциальным вращением. Найдены области, в которых происходит генерация полоидального течения.*

*ПРО ГІДРОДИНАМІЧНИЙ МЕХАНІЗМ ГЕНЕРАЦІЇ ГЛОБАЛЬНОЇ ПОЛОЇДАЛЬНОЇ ТЕЧІЇ НА СОНЦІ, Логінов О. О., Сальников М. М., Черемних О. К., Зелик Я. І., Маслова Н. В. — Розглядається механізм створення полоїдальної течії на Сонці, зумовлений його диференціальним обертанням. Знайдено області, в яких відбувається генерація полоїдальної течії.*

*ON HYDRODYNAMICAL MECHANISM OF GENERATION OF GLOBAL POLOIDAL FLOW OF THE SUN, by Loginov A. A., Sal'nikov N. N., Chremnykh O. K., Zyelyk Ya. I., Maslova N. V. — The mechanism of the generation of the solar poloidal flow due to the Sun's differential rotation is discussed. Some areas of poloidal flow generation are determined.*

**Введение.** Известно, что Солнце обладает дифференциальным вращением [3]. Непосредственными наблюдениями установлено, что поверхность солнечного экватора имеет угловую скорость вращения, которая примерно на 30 % превышает скорость вращения поверхности приполярных областей. Методами гелиосейсмологии получены количественные данные о внутреннем дифференциальном вращении Солнца [4]. На рис. 1 приведены средние значения угловой скорости вращения элементарного объема солнечной среды в зависимости от его широты и относительного радиуса  $R/R_\odot$ , отсчитываемого от геометрического центра Солнца [12].

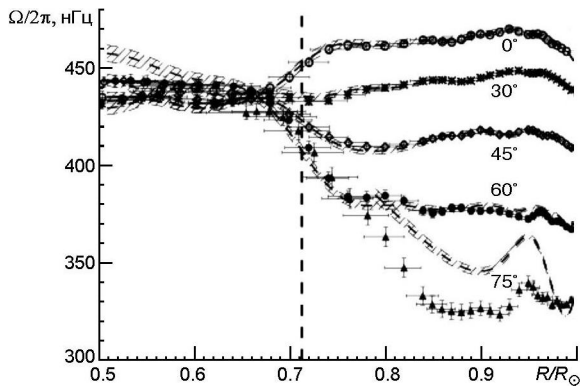


Рис. 1. Зависимости частоты вращения внутренних солнечных слоев от относительного радиуса  $R/R_\odot$  и гелиосейсмити (цифры у кривых) [11]

Помимо дифференциального вращения, которое является торoidalным вращением, известно также полоидальное течение на Солнце (см. рис. 2, *д*), которое наблюдается до глубины 12 тыс. км [13].

Считается [3], что полоидальное течение обусловлено двумя конкурирующими факторами: наличием момента центробежных сил между полюсами и экватором и моментом архимедовых сил между экватором и полюсами. Момент архимедовых сил может быть обусловлен анизотропией теплопроводности вращающихся звезд, которая приводит к тому, что полярные области звезды оказываются теплее экваториальных [5]. Поэтому более горячая плазма от полюсов растекается к экватору, а относительно холодная плазма на экваторе погружается в глубину и движется к полюсам. Расчеты дифференциального вращения [3], выполненные с учетом этих двух факторов, в целом удовлетворительно согласуются с данными гелиосейсмологии для больших глубин. Однако на поверхности Солнца эти расчеты дают полоидальное течение, направленное противоположно наблюдаемому.

В данной работе мы уделили внимание иному механизму возникновения и формирования полоидального течения, а именно неустойчивости дифференциального вращения. Ниже будет показано, что неустойчивость генерирует торoidalные структуры с внутренним полоидальным течением. При этом рассмотрение будет основываться на качественной аналогии между дифференциальным вращением Солнца и течением Куэтта [9].

**Течение Куэтта.** Это течение может быть либо цилиндрическим, либо сферическим. Цилиндрическим течением Куэтта называется стационарное течение жидкости между двумя соосно вращающимися цилиндрами (см. рис. 2, *а*) с постоянными угловыми скоростями  $\omega_1$  и  $\omega_2$ , а сферическим течением Куэтта — между двумя соосно вращающимися сферами (рис. 2, *в*).

Качественная аналогия между течением Куэтта и дифференциальным вращением Солнца вытекает из следующих соображений. Внутренняя область Солнца, лежащая ниже тахоклина, вращается почти как твердое тело с постоянной частотой. В течении Куэтта внутренний цилиндр (или сфера) (рис. 2, *а*, *в*) также вращаются с постоянной частотой. В обоих течениях движение среды характеризуется диффе-

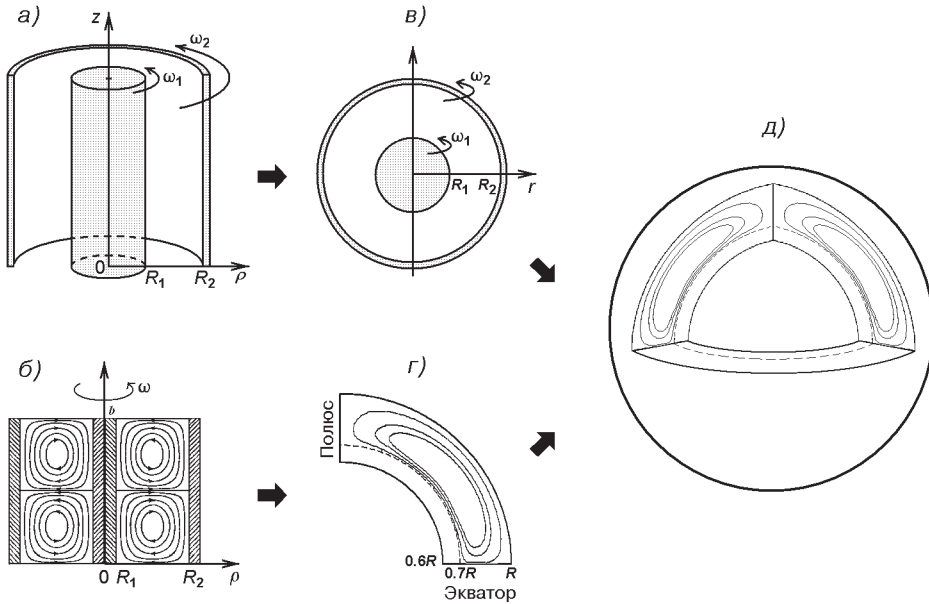


Рис. 2. Качественный вид течения Куэтта и полоидального течения на Солнце: *а* — цилиндрическое течение Куэтта, *б* — полоидальное течение в цилиндрическом течении Куэтта (вихри Тейлора [11]), *в* — сферическое течение Куэтта, *г* — полоидальное течение в сферическом течении Куэтта [2], *д* — полоидальное течение на Солнце (пунктиром показана граница тахоклина)

ренициальным вращением и тороидальным осесимметричным течением, на фоне которого может реализоваться полоидальное течение (рис. 2, *б*, *г*, *д*).

Все перечисленные соответствия между течением Куэтта и гло- бальными течениями на Солнце дают основания привлекать резуль- таты, полученные при изучении течения Куэтта, для качественного объяснения возникновения на Солнце полоидального течения.

**Неустойчивость дифференциального вращения.** Ниже на при- мере цилиндрического и сферического течений Куэтта будет показано, как неустойчивость дифференциального вращения приводит к воз- никновению полоидального течения.

Известно, что граница устойчивости тороидально вращающихся сред описывается уравнением Рэлея [2]:

$$\frac{\Omega^2(r)}{r} = 0, \quad (1)$$

где  $\Omega(r)$  — угловой момент вращаю- щегося элементарного объема плазмы (рис. 3),  
 $r$  — его угловая скорость вращения,  $r$  — расстояние от оси вращения до этого объема.

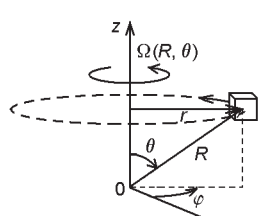


Рис. 3. Осесимметричное вращение элементарного объема плазмы

Поясним физический смысл уравнения (1). Рассмотрим, следуя Рэлею [10], виртуальную перестановку двух соосно вращающихся тон-

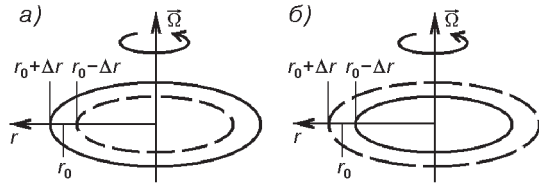


Рис. 4. Начальное и конечное положение жидких вращающихся колец в мысленном эксперименте при выводе критерия Рэлея

ких жидких колец единичной массы. Используя результаты [7], вычислим вариацию суммарной энергии обоих колец  $2 \cdot (r)$  при такой перестановке, когда сохраняются моменты импульсов  $(r) = \sqrt{2} \cdot (r)$  каждого из колец. Причем такая перестановка производится в  $r$ -окрестности произвольно выбранной точки  $r = r_0$ , как показано на рис. 4.

Можно показать [7], что вариация суммарной энергии обоих колец равна

$$2 \cdot (r) = \frac{4(r)^2}{r^3} \frac{d}{dr} \cdot (r) \quad (2)$$

и содержит множитель  $4(r)^2 / r^3$ , существенный для дальнейшего рассмотрения. Если  $\cdot (r) > 0$ , то согласно энергетическому принципу [8] течение с профилем угловой скорости  $\cdot (r)$  является устойчивым. Устойчивая система после внесенного возмущения начнет совершать колебательные движения с потенциальной энергией

$$\frac{1}{2} k(r)^2, \quad (3)$$

где  $k$  – эффективная «жесткость» вращающейся среды, действующая на кольцо единичной массы (т. е.  $k = \frac{1}{2}$ , частота линейного осциллятора единичной массы). Из выражений (2) и (3) получаем

$$\frac{d}{dr} \cdot (r) = \frac{4}{r^3} \frac{d}{dr} \cdot (r). \quad (4)$$

Полагая  $\cdot^2 = \text{const}$ , что соответствует равномерному распределению энергии по элементарным объемам среды, т. е.  $\cdot (r)$ , получаем выражение для частоты вращения  $\cdot$  как функции радиуса  $r$ :

$$\cdot (r) = \frac{\cdot(r)}{r^2} = \frac{1}{r^2} \sqrt{C^2 - \frac{1}{4} \cdot r^4}, \quad (5)$$

где  $C$  – некоторая константа интегрирования. Такой профиль вращения далее будем называть равночастотным, поскольку частоты колебаний любого объема жидкости будут одинаковыми и независимыми от его местоположения.

Когда  $\cdot (r) < 0$ , то течение оказывается неустойчивым, и реализуется равноинкрементный профиль частоты вращения

$$\cdot (r) = \frac{\cdot(r)}{r^2} = \frac{1}{r^2} \sqrt{C^2 - \frac{1}{4} \cdot r^4}, \quad (6)$$

где  $\cdot$  – инкремент неустойчивости любого элементарного объема.

При  $\Omega(r) = 0$  течение находится в состоянии нейтральной устойчивости, когда любая перестановка двух жидкых объемов одинаковой массы не приводит к изменению состояния системы. В этом случае вращающаяся среда обладает нейтрально устойчивым профилем частоты вращения по радиусу, для которого

$$\Omega(r) = \frac{\Omega(0)}{r^2} = \frac{C}{r^2}. \quad (7)$$

Уравнения (5) — (7) можно записать в виде одного уравнения

$$\Omega(r) = \frac{\Omega(0)}{r^2} = \frac{1}{r^2} \sqrt{C^2 - \frac{2}{16} r^4}. \quad (8)$$

Здесь значение величины  $\Omega$  может быть как действительным, так и мнимым. Профили вращения, удовлетворяющие (8), являются равноэнергетическими, поскольку были выведены в предположении, что энергия системы изменяется на одну и ту же величину при перестановке двух близко расположенных жидких вращающихся колец и не зависит от места их расположения.

Введенные равноэнергетические профили вращения позволяют аналитически исследовать устойчивость цилиндрического течения Куэтта и ответить на вопрос, какое течение возникает при развитии неустойчивости.

**Генерация полоидального течения.** Если в стационарное течение Куэтта внести возмущение таким образом, что реализуется равноинкрементное состояние (6), то возникает полоидальное течение, которое описывается уравнениями [7]

$$\begin{aligned} V_{nk}^{(r)} &= e^{-nk\theta} Z_1(-n r) \cos \frac{k z}{b}, \\ V_{nk}^{(r)} &= e^{-nk\theta} \frac{b}{k} Z_0(-n r) \sin \frac{k z}{b}, \\ &\quad \frac{2}{nk} \frac{k}{b^2} \frac{1}{\frac{2}{n} \frac{k}{b^2}}. \end{aligned} \quad (9)$$

Здесь  $Z_0(r) = C_1 J_0(r) - C_2 K_0(r)$ ,  $Z_1(r) = C_1 J_1(r) - C_2 K_1(r)$ ;  $J_i, K_i$  — функции Бесселя  $i$ -го порядка. Константы  $C_1, C_2$  определяются из условия обращения в ноль радиальной составляющей скорости на поверхностях цилиндров  $R_1$  и  $R_2$ ,  $n$  — корни характеристического уравнения системы

$$Z_1(R_1 - n) = 0, \quad Z_1(R_2 - n) = 0, \quad (n = 0, 1, 2, 3, \dots), \quad (10)$$

где  $n$  — номер, который указывает на количество нулей функции  $Z_1$  на интервале  $R_1 < r < R_2$ ,  $k$  — аксиальное волновое число ( $k = 1, 2, 3, \dots$ ). Формулы (9) получены для идеальной жидкости, поэтому  $n$  и  $k$  могут принимать значения от 1 до  $\infty$ , и геометрические параметры течения их величину не ограничивают. На рис. 2, б приведен вид полоидаль-

ного течения с  $n = 0, k = 2$ . Эта мода выбрана для примера потому, что напоминает полоидальное течение на Солнце (рис. 2,  $\delta$ ). В лабораторных экспериментах по течению Куэтта [1] вдали от торцов установки наблюдаются структуры с  $n = 0$  и таким  $k$ , что крайние границы этих структур в сечении имеют примерно квадратную форму (см. рис. 2,  $\delta$ ). Впервые математическое описание таких структур для случая малого промежутка между граничными цилиндрами дал Тейлор [11], и в дальнейшем они получили название вихрей Тейлора.

Точно такой же результат был получен численно для сферического течения Куэтта [7]. На рис. 2,  $\delta$  приведен вид сферической моды полоидального течения  $n = 0, k = 2$  построенный методом Бубнова — Галеркина. Такое течение наблюдается в лабораторных экспериментах [2] и именно такими рисунками обычно схематически иллюстрируется вид полоидального течения на Солнце (рис. 2,  $\delta$ ).

Таким образом, в областях на Солнце, для которых выполняется критерий Рэлея, происходит потеря устойчивости дифференциального вращения; следствием потери устойчивости дифференциального вращения на Солнце является генерация меридиональной циркуляции (см. рис. 2,  $\varepsilon$ ) в виде вихрей Тейлора; размер и форма области неустойчивости определяется условием отрицательности функции

$$\frac{d}{r} [r^2 (R, \theta) \frac{\partial}{\partial r} (R, \theta)] < 0 \quad (11)$$

(смысл  $r, R, \theta$  понятен из рис. 3).

**Устойчивость дифференциального вращения Солнца.** Внутренние слои Солнца можно представить в виде совокупности колец, которые врачаются вокруг общей оси. Каждое кольцо описывается координатами  $R$  и сферической системы координат  $R, \theta, \phi$ , начало которой помещено в центр Солнца, а полярная ось направлена вдоль оси вращения Солнца (см. рис. 3). Как отмечалось выше, методами гелиосейсмологии получена зависимость угловой скорости вращения элементарного объема от  $R$  и  $\theta$ ,  $\omega_i(R) = \omega(R, \theta, i)$ ,  $i = 0, \dots, 6$ , которые приведены на рис. 1 для значений гелиоширот  $\theta_g = 0^\circ, 30^\circ, 45^\circ, 60^\circ, 75^\circ$  и  $90^\circ$ . Данные для гелиошироты  $15^\circ$  были взяты из работы [3]. Связь между гелиоширотой северного полушария  $\theta_g$  и углом сферической системы координат задается соотношением

$g$ .

Для анализа устойчивости течения наблюдательные кривые  $\omega_i(R)$  аппроксимируем по функциям вида  $\cos(6nR)$ :

$$\omega_i(R) = a_0(\theta_g) + a_1(\theta_g) \cos(6R) + \dots + a_{21}(\theta_g) \cos(126R). \quad (12)$$

Коэффициенты  $a_n$  разложения для разных  $i$  приведены в таблице.

В свою очередь, коэффициент  $a_n = a_n(\theta_g)$  для каждого  $n$  представим в виде

$$a_n(\theta_g) = b_{n0} + b_{n1} \cos(2\theta_g) + b_{n2} \cos(4\theta_g) + \dots + b_{n6} \cos(12\theta_g). \quad (13)$$

**Значения коэффициентов  $a_n$  разложения полиномов (12) для разных  $i$**

$n$	$= 0$	$= 15$	$= 30$	$= 45$	$= 60^\circ$	$= 75$	$= 90$
0	-1851.197207	7588.058514	466.4540188	2064.372562	-228.4635357	-383.7822680	2087.341880
1	4363.60	-14304.0	-147.4303	-3259.90	1315.90	1639.70	-3254.20
2	-4275.00	13821.0	117.9545	3149.10	-1280.30	-1594.60	3142.60
3	4097.30	-13116.0	-102.6800	-2992.30	1203.40	1494.50	-3014.00
4	-3798.30	12189.0	84.7224	2768.60	-1130.80	-1403.30	2781.40
5	3470.10	-11088.0	-83.9031	-2527.90	1017.00	1262.80	-2550.40
6	-3094.60	9851.0	70.5628	2241.90	-912.60	-1136.10	2248.70
7	2707.20	-8551.0	-62.0008	-1951.30	785.90	978.70	-1966.50
8	-2303.20	7232.0	46.1251	1646.50	-671.10	-837.00	1654.20
9	1928.60	-5947.0	-36.7365	-1359.90	550.00	685.60	-1374.80
10	-1559.50	4762.0	26.1325	1087.00	-443.10	-554.10	1094.70
11	1235.80	-3688.0	-18.2988	-845.10	342.90	428.90	-857.10
12	-937.30	2763.0	10.9729	632.50	-258.30	-324.10	639.70
13	697.80	-1991.0	-5.6904	-456.10	186.60	233.90	-466.20
14	-492.60	1369.0	2.1104	314.20	-128.80	-162.30	320.70
15	337.40	-901.0	0.4121	-205.70	85.00	107.10	-212.60
16	-217.10	549.0	-1.4437	126.40	-52.10	-66.10	130.90
17	133.20	-318.0	2.2473	-71.70	30.40	38.50	-75.80
18	-74.60	159.0	-2.1258	36.80	-15.40	-19.80	39.20
19	39.80	-75.0	1.6036	-16.20	7.20	9.40	-18.10
20	-15.40	25.0	-0.8696	5.90	-2.40	-3.40	6.60
21	7.40	-8.0	0.4371	-1.40	0.80	1.10	-1.80

---

Разложение по косинусам четного аргумента в (13) обусловлено симметрией дифференциального вращения относительно плоскости экватора Солнца.

Для определения коэффициентов  $b_{ni}$ ,  $i = 0, \dots, 6$  в разложении (13) используем известные значения  $a_n(\ ) = a_{ni}$  из таблицы и сформируем из коэффициентов  $a_{ni}$  и  $b_{ni}$  следующие векторы:

$$\mathbf{a}_n = (a_{n0}, \dots, a_{n6})^T, \quad \mathbf{b}_n = (b_{n0}, \dots, b_{n6})^T, \quad \mathbf{a}_n, \mathbf{b}_n \in R^7. \quad (14)$$

Тогда задача определения  $\mathbf{b}_n$  сводится к решению системы линейных алгебраических уравнений

$$\mathbf{a}_n \hat{\mathbf{C}} \hat{\mathbf{b}}_n, \quad (15)$$

с матрицей  $\hat{\mathbf{C}}$  вида

$$\hat{\mathbf{C}} = \begin{matrix} 1 & \cos(2_0) & \cos(4_0) & \dots & \cos(12_0) \\ 1 & \cos(2_1) & \cos(4_1) & \dots & \cos(12_1) \\ \dots \\ 1 & \cos(2_6) & \cos(4_6) & \dots & \cos(12_6) \end{matrix}. \quad (16)$$

Эта матрица не вырождена ( $\det \hat{\mathbf{C}} \neq 0$ ), поэтому коэффициенты разложения для функций  $a_n(\theta)$  находим из (15). Подставляя их в (12), получаем искомую аппроксимацию  $(R, \theta)$ :

$$(R, \theta) = a_0(\theta) + a_1(\theta)\cos(6R) + \dots + a_{21}(\theta)\cos(126R) \\ = \sum_{n=0}^{21} a_n(\theta)\cos(6nR). \quad (17)$$

Для исследования устойчивости дифференциального вращения Солнца перейдем в (17) к цилиндрическим координатам  $r, z, \theta$ . Связь сферических и цилиндрических координат

$$\begin{aligned} R &= R(r, z) = \sqrt{r^2 + z^2}, & r &= r(R, \theta) = R\sin\theta, \\ (r, z) &= \arctg \frac{z}{r}, & z &= z(R, \theta) = R\cos\theta, \end{aligned} \quad (18)$$

позволяет записать (17) в цилиндрических координатах. Используя (18), из (11) и (17) находим

$$\begin{aligned} (R, \theta) &= \left. \frac{(r^2 - (r, \theta))}{r} \right|_{\substack{z=z(R, \theta) \\ r=r(R, \theta)}} = \\ &= 2R\sin\theta (r, \theta) - R^2 \sin^2\theta - \frac{r}{R}\sin\theta - \frac{\cos\theta}{R} = \\ &= 2R\sin\theta (R, \theta) - \frac{R^2}{R}\sin^3\theta - R\sin^2\theta \cos\theta, \end{aligned} \quad (19)$$

что позволяет установить области, в которых выполняется критерий (11).

Функция  $(R, \theta)$  в сферическом слое изображена на рис. 5. Параллелограммом (рис. 5, а) и треугольником (рис. 5, б) отмечена область, в которой  $(R, \theta) < 0$ , что свидетельствует о потере устойчи-

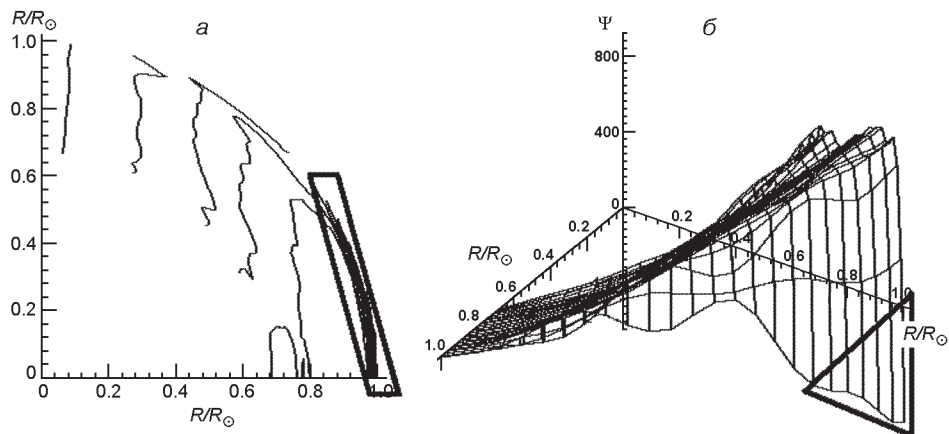


Рис. 5. Линии уровня (а) и 3D-график (б) функции  $(R, \theta)$  в сферическом слое. Ось вращения находится слева

вости дифференциального вращения в этой области. Появление областей неустойчивости в северном и южном полушариях указывает на наличие на Солнце полоидального течения.

**Выводы.** Проведенный в работе качественный анализ позволяет сделать следующие выводы: на Солнце могут быть области, в которых происходит потеря устойчивости дифференциального вращения; в этих областях происходит генерация полоидального течения в виде вихрей Тейлора.

Вопрос о пространственном виде и временных характеристиках возникшего полоидального течения подробно исследован в работе [6].

1. Гидродинамические неустойчивости и переход к турбулентности. — М.: Мир, 1984.—344 с.
2. Джозеф Д. Устойчивость движений жидкости. — М.: Мир, 1981.—638 с.
3. Кичатинов Л. Л. Дифференциальное вращение звезд // Успехи физ. наук.—2005.—**175**, № 5.—С. 475—494
4. Косовичев А. Г. Гелиосеймология // Изв. Крым. астрофиз. обсерватории.—2007.—**103**, № 2.—С. 130—142.
5. Коchin Н. Е., Кибель И. А., Розе Н. В. Теоретическая гидромеханика. — М.-Л.: ОГИЗ, 1941.—Т. 1.—348 с.
6. Логинов А. А., Сальников Н. Н., Черемных О. К. и др. Гидродинамическая модель генерации глобального полоидального течения Солнца // Космічна наука і технологія.—2011.—**17**, № 1.—С. 29—35.
7. Логинов А. А., Самойленко Ю. И., Ткаченко В. А. Возбуждение меридионального течения дифференциальным вращением в жидком ядре Земли // Космічна наука і технологія.—2000.—**6**, № 2/3.—С. 53—68.
8. Ляпунов А. М. Общая задача об устойчивости движения. — М.-Л.: ГИТТЛ, 1950.—472 с.
9. Couette M. Etudes sur le frottement des liquides // Ann. Chem. Phis.—1890.—**21**.—P. 433.
10. Rayleigh. On the dynamics of revolving fluids // Sci. Pap.—1916.—**6**.—P. 447—453. — (Proc. Roy. Soc. London A.—1916.—93.—P. 148).
11. Teylor G. I. Stability of a viscous liquid contained between two rotating cylinders // Trans. Roy. Soc. London A.—1923.—**223**.—P. 289.
12. Thompson M. J., Christensen-Dalsgaard J., Miesch M. S., Toomre J. The internal rotation of the Sun // Annu. Rev. Astron. and Astrophys.—2003.—**41**.—P. 599—643.
13. Zhao J., Kosovichev A. G. Torsional oscillation, meridional flows, and vorticity inferred in the upper convection zone of the Sun by time-distance helioseismology // Astrophys. J.—2004.—**603**.—P. 776—784.

Поступила в редакцию 09.04.10